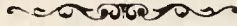


EXPLICATION DES PLANCHES.



N. B. Dans toutes les figures, les lettres suivantes ont la même signification :

- n. nucléus.
- o. bouche.
- v. vaisseau.
- v. c. vésicule contractile.
- ω anus.

Lorsqu'il n'y a pas d'indication spéciale, le grossissement est de 300 à 350 diamètres.



PLANCHE I.

- Fig. 1. Une famille du *Carchesium Epistylis*. — o entrée du vestibule.
- Fig. 2. Fragment d'une famille du *Zoothamnium glesnicum*.
- Fig. 3. Fragment d'une famille du *Zoothamnium nutans*.
- Fig. 4. Un individu isolé du *Zooth. nutans* dans le moment de la contraction.
- Fig. 5. Fragment d'une colonie de l'*Epistylis invaginata*.
- Fig. 6. Individu libre de la même espèce dans le moment de la natation.
- Fig. 7. Nucléus du même.
- Fig. 8. Une colonie de l'*Epistylis courceta*.

PLANCHE II.

- Fig. 1. Famille complète du *Zoothamnium alternans*, portant des individus de trois grossisseurs.
- Fig. 2. Individu de taille moyenne plus fortement grossi.

- Fig. 3. Individu de grande taille à l'état de liberté.
- Fig. 4. Tronc de la colonie du *Z. alternans*, pour montrer l'apparence fibreuse du muscle à un fort grossissement.
- Fig. 5. *Gerda Glans* dans l'état de demi-extension.
- Fig. 6. *Gerda Glans* à l'état de demi-contraction durant la phase mobile. Le nucléus est divisé.
- Fig. 7. *Gerda* allongée à l'état de repos, avec division du nucléus.
- Fig. 8. *Gerda* à l'état de contraction complète.
- Fig. 9. *Epistylis brevipes* à péristome contracté.

PLANCHE III.

- Fig. 1. *Carchesium spectabile*, fragment de colonie. — o Entrée du vestibule.
- Fig. 2. *Cothurnia compressa*, la coque vue de face.
- Fig. 3. La même, la coque vue de profil.
- Fig. 4. (Le numéro a été omis sur la planche.) *Cothurnia nodosa* pédonculée dans la coque.

- Fig. 5. Autre forme de la même espèce, non pédonculée dans la coque.
 Fig. 6. Coque de *Faginicola decumbens* dont l'habitant s'est divisé.
 Fig. 7. *Epistylis umbilicata*, fragment de colonie.
 Fig. 8. Un kyste de la même; 8^a paroi du kyste vue à un fort grossissement.
 Fig. 9. *Zoothamnium Aselli*, fragment de colonie.
 Fig. 9^a. Un individu de la même espèce dans la période de natation.
 Fig. 10. *Scyphidia Physarum*, à demi-contractée.
 Fig. 11. La même, plus étendue.

PLANCHE IV.

- Fig. 1. *Trichodinopsis paradoxa*, p Organe rendu visible par l'action de l'acide acétique.
 Fig. 2. Organe fixateur de la *Trichodinopsis paradoxa*, vu par-dessus.
 Fig. 3. Le cadre solide de l'appareil buccal de la même.
 Fig. 4 et 5. Nucléus de la même.
 Fig. 6. *Trichodina Steinii*, vue par la partie supérieure.
 Fig. 7. *Trichodina Mitra*, vue de profil.
 Fig. 8. Appareil fixateur de la même espèce, vu en dessous.
 Fig. 9. *Cothurnia recurva*, coque vue de profil.
 Fig. 10. *Cothurnia recurva*, coque vue de face.
 Fig. 11. *Cothurnia Boeckii*.

PLANCHE V.

- Fig. 1. *Oxytricha multipes*, vue par la face ventrale.
 Fig. 2. *Oxytricha Urostyla*, vue par la face ventrale.
 Fig. 3. *Oxytricha retractilis*, allongée et vue par la face ventrale.
 Fig. 4. La même, contractée.
 Fig. 5. *Oxytricha auricularis*, vue par la face ventrale.
 Fig. 6. La même, vue de profil.
 Fig. 7. *Oxytricha caudata*, vue par la face ventrale.
 Fig. 8. *Oxytricha gibba*, vue par la face ventrale.

PLANCHE VI.

- Fig. 1. *Stylonychia Mytilus*, vue par la face ventrale.
 Fig. 1^a. Pied marcheur de la même, divisé anormalement en un groupe de fibres.
 Fig. 1^b. Pied-rame de la même dans l'état normal.
 Fig. 1^c. Pied-rame divisé anormalement en un faisceau de fibres.
 Fig. 2. *Stylonychia pustulata*, vue par la face ventrale.
 Fig. 3. Jeune individu issu par bourgeonnement de la même espèce.
 Fig. 4. *Stylonychia fississeta*, vue par la face ventrale.
 Fig. 5. *Stylonychia echinata*, vue par la face ventrale.
 Fig. 6. *Stichocheata cornuta*, fortement grossie, vue par la face ventrale.
 Fig. 7. *Oxytricha crassa*, vue par la face ventrale.
 Fig. 8. La même, vue de profil.

PLANCHE VII.

- Fig. 1. *Euplotes Patella*, vue par la face ventrale. Forme type.
 Fig. 2. Variété de la même espèce.
 Fig. 3. *Euplotes longipes*, vu par la face ventrale.
 Fig. 4. *Euplotes excavatus*, vu par la face ventrale.
 Fig. 5. Le même, vu par la face dorsale.
 Fig. 6. *Schizopus norwegicus*, vu par la face ventrale.
 Fig. 7. Le même, vu par la face dorsale.
 Fig. 8. *Campylopus paradoxus*, vu par la face ventrale.
 Fig. 9. Le même, vu par la face dorsale.
 Fig. 10. *Euplotes Charon*, vu par la face ventrale.
 Fig. 11. *Aspidisca turrata*, vu par la face ventrale.
 Fig. 12. Le même, vu de profil.
 Fig. 13. *Aspidisca Cicada*, vu par la face ventrale.
 Fig. 14. Le même, vu de dos.
 Fig. 15. Le même, vu par derrière.
 Fig. 16. *Aspidisca Lynceus*, vu par la face ventrale.

PLANCHE VIII.

- Fig. 1. Coque du *Tintinnus denticulatus*.
 Fig. 1^a. Fragment de la coque, très-fortement grossi.
 Fig. 2. *Tintinnus inquilinus*, animal et coque.
 Fig. 3. Coque du *Tintinnus Amphora*, renfermant un kyste d'origine inconnue.
 Fig. 4. Coque du *Tintinnus acuminatus*.
 Fig. 5. *Tintinnus Steenstrupii*, animal contracté dans sa coque.
 Fig. 6. *Tintinnus Ehrenbergii*, avec l'animal étendu et faisant vibrer ses cirrhes.
 Fig. 7. Le même, contracté au fond de sa coque.
 Fig. 8. Coque du *Tintinnus Helix*.
 Fig. 9. *Tintinnus Campanula*, animal retiré au fond de sa coque.
 Fig. 10. *Tintinnus Lagenula*, vu à un fort grossissement.
 Fig. 11. Le même dans la division spontanée, à un grossissement de 300 diamètres.
 Fig. 12. *Tintinnus mucicola*, dans sa coque.
 Fig. 13. Coque du *Tintinnus cinctus*.
 Fig. 14. *Tintinnus Urnula*, dans la première période de la division spontanée.
 Fig. 15. Coque du *Tintinnus subulatus*.
 Fig. 16. Coque appartenant probablement à un *Tintinnus* inconnu.

PLANCHE IX.

- Fig. 1. *Tintinnus obliquus*, dans sa coque.
 Fig. 2. Coque du *Tintinnus annulatus*.
 Fig. 3. Coque du *Tintinnus 4-lineatus*.
 Fig. 4. Coque du *Tintinnus ventricosus*.
 Fig. 5^a et ^b. Deux coques à doubles parois appartenant à des infusoires inconnus.
 Fig. 6. *Freia Ampulla*, contractée dans sa coque.
 Fig. 7. La même, demi-étendue.
 Fig. 8. *Freia elegans*, à l'état libre, contractée.
 Fig. 9. *Freia elegans*, à l'état libre, étendue.

PLANCHE X.

- Fig. 1. *Freia elegans*, dans sa coque, avec le calice développé.

- Fig. 2. La même, retirée dans sa coque, le calice replié.
 Fig. 3. Une coque vide de la même.
 Fig. 4. Coque de la même, présentant des excroissances dues à un parasite.
 Fig. 5. *Freia aculeata*, retirée dans sa coque.
 Fig. 6. La même, avec le calice déployé.
 Fig. 7. Sommet d'un des lambeaux du calice de la *Freia elegans*.
 Fig. 8. Même partie de la *Freia aculeata*.

PLANCHE XI.

- Fig. 1. *Spirostomum teres*, vu par la face ventrale et droite.
 Fig. 2. Le même, vu par la face dorsale et gauche.
 Fig. 3. *Plagiotoma lateritia*, vu du côté droit.
 Fig. 4. Le même, vu du côté droit.
 Fig. 4. Le même, vu du côté gauche.
 Fig. 5. Individu de la même espèce, récemment issu d'une division spontanée.
 Fig. 6. *Plagiotoma acuminata*, vu par l'arête ventrale.
 Fig. 7. Le même, vu par le côté droit.
 Fig. 8. *Plagiotoma cordiformis*, vu par le côté droit.
 Fig. 9. Le même, vu par le côté gauche.

PLANCHE XII.

- Fig. 1. *Metopus sigmoides*, vu par la face ventrale.
 Fig. 2. *Leucophrys patula*, vu par la face ventrale.
 Fig. 3. *Kondylostoma patens*, vu par la face ventrale.
 Fig. 4. *Kondylostoma patulum*, vu par la face ventrale.
 Fig. 5. *Lembadium bullinum*, vu par la face ventrale.
 Fig. 6. Variété de la même espèce, échancrée en avant.
 Fig. 7. *Coleps Fusus*, petit exemplaire.
 Fig. 8. *Coleps Fusus*, gros exemplaire, dans la division spontanée.
 Fig. 9. *Coleps uncinatus*, vu de profil.

PLANCHE XIII.

- Fig. 1. *Bursaria decora*, vue par la face ventrale.
Les cercles à trait plus accusé indiquent les vésicules contractiles.
- Fig. 2. *Balanidium Entozoon*, vu par la face ventrale.
- Fig. 3. *Ophryoglena Citreum*, vue de profil, par le côté gauche.
- Fig. 4. La même, vue de face.
- Fig. 5. *Paramecium glaucum*, vu par le côté droit.
- Fig. 6^a. *Strombidium sulcatum*, vu de côté. 6^b La même, vu par devant.
- Fig. 7. *Strombidium Turbo*.
- Fig. 8. *Halteria Grandinella*.
- Fig. 9 La même, avec ses soies saltatrices rabattues en avant.
- Fig. 10 et 11. *Halteria Pulex*.

PLANCHE XIV.

- Fig. 1. *Paramecium ovale*, vu par le côté gauche.
- Fig. 2. *Paramecium inversum*, vu par la face ventrale et gauche.
- Fig. 3. *Colpoda parvifrons*, vu par la face ventrale et gauche.
- Fig. 4. *Glaucoma margaritaceum*, vu par la face ventrale.
- Fig. 5. *Cyclidium elongatum*.
- Fig. 6. *Pleuronema Cyclidium*, vu par la face ventrale et droite.
- Fig. 7. *Pleuronema natans*, vu par la face ventrale et droite.
- Fig. 8. *Pleuronema Chrysalis*, vu par la face ventrale et droite.
- Fig. 9. *Paramecium microstomum*, vu par le côté droit.
- Fig. 10. *Halteria Volvox*.
- Fig. 11. *Huxleya crassa*, vue par le côté droit.
- Fig. 12. La même, vue par le dos.
- Fig. 13. Contour de la même, vue par l'arrière.
- Fig. 14. *Huxleya sulcata*, vue par le côté droit.
- Fig. 15. *Trichopus Dysteria*, vu par le côté gauche.
- Fig. 16. *Enchelyodon elongatus*.

- Fig. 17. *Loxophyllum armatum*, vu par la face dorsale au moment où il décharge quelques trichocystes sur un *Cyclidium*.

PLANCHE XV.

- Fig. 1. *Iduna sulcata*, vue par le côté droit.
- Fig. 2. La même, vue par l'arête dorsale.
- Fig. 3. La même, vue par le côté gauche.
- Fig. 4. *Dysteria spinigera*, vue par le côté droit.
- Fig. 5 et 6. *Aegyria pusilla*, vue par le côté gauche.
- Fig. 7. La même, vue par la face ventrale.
- Fig. 8. *Dysteria lanceolata*, vue du côté droit.
- Fig. 9. La même, vue de dos.
- Fig. 10. La même, vue du côté gauche.
- Fig. 11. Partie postérieure de la même, vue par le ventre, le pied rabattu vers le haut.
- Fig. 12. Partie antérieure de la même, vue par le ventre, pour montrer l'appareil dégluteur.
- Fig. 13. Partie postérieure de la même, vue par le côté gauche, le pied rabattu vers le haut.
- Fig. 14. *Aegyria Oliva*, vue par le dos.
- Fig. 15. La même, vue par la face ventrale.
- Fig. 16. *Aegyria Legumen*, vue par le côté gauche.
- Fig. 17. *Dysteria crassipes*, vue du côté gauche.
- Fig. 18. La même, vue de dos.
- Fig. 19. Pied de la même.
- Fig. 20. *Dysteria aculeata*, vue par le côté gauche.
- Fig. 21. *Aegyria angustata*, vue par la valve plane.
- Fig. 22. Partie postérieure de la même, vue de dos.
- Fig. 23. La même, vue par le côté ventral.
- Fig. 24. Squelette macéré de *Dysterien*.

PLANCHE XVI.

- Fig. 1. *Trachelophyllum apiculatum*, vu de dos.
- Fig. 2. *Trachelophyllum pusillum*.
- Fig. 3. *Amphileptus Gigas*. Les cercles indiquent les vésicules contractiles.
- Fig. 4. *Amphileptus Anaticula*, contenant un Péridinien dans la cavité digestive.

- Fig. 5. *Lacrymaria Olor*. Fig. 5^a. Le nucléus de la même.
 Fig. 6. Partie antérieure de la même, avec les cirrhes rabattus sur la bouche.
 Fig. 7. Partie antérieure de la même, fortement grossie.
 Fig. 8. *Lacrymaria Olor*, très-allongée et faiblement grossie.
 Fig. 9. *Loxophyllum Meleagris*.

PLANCHE XVII.

- Fig. 1. *Amphileptus Cygnus*.
 Fig. 2. *Lorodes Rostrum*, vu par le côté droit.
 Fig. 3. *Enchelyodon furctus*.
 Fig. 4. *Enchelys arcuata*.
 Fig. 5. *Holophrya Orum*.
 Fig. 6. *Nassula flava*, vue par la face ventrale.
 Fig. 7. *Nassula lateritia*, vue par la face ventrale.
 Fig. 8. *Nassula rubens*, vue par le côté droit.

PLANCHE XVIII.

- Fig. 1. *Prorodon margaritifera*, vu par la face ventrale. Les cercles indiquent les vésicules contractiles.
 Fig. 2. *Prorodon armatus*, vu par la face ventrale.
 Fig. 3. *Prorodon griseus*, vu par la face ventrale.
 Fig. 4. *Prorodon edentatus*.
 Fig. 5. *Prorodon marinus*.
 Fig. 6. *Lacrymaria coronata*.
 Fig. 7. *Lacrymaria Lagenula*.
 Fig. 8. *Phialina vermicularis*.
 Fig. 9. *Urotricha farcta*.

PLANCHE XIX.

- Fig. 1. *Ceratium tripos*, variété *macroceros*, vu par la face ventrale.
 Fig. 2. La même, variété *tripos* proprement dite, vue par la face ventrale.
 Fig. 3. Le même, variété *arcticum*, vu par la face dorsale.
 Fig. 4. Fragment de test du même, à un fort grossissement.
 Fig. 5. *Ceratium Furca*, vu par la face ventrale.
 Fig. 6. Portion de test désarticulée, du même.
 Fig. 7. *Ceratium Fusus*, vu par la face ventrale.

- Fig. 8. *Ceratium biceps*, vu par la face dorsale.

PLANCHE XX.

- Fig. 1. *Ceratium cornutum*, vu par la face ventrale.
 Fig. 2. Le même, vu par le côté droit.
 Fig. 3. *Peridinium reticulatum*, vu par le côté droit.
 Fig. 4. *Peridinium spiniferum*, vu par la face ventrale.
 Fig. 5. Carapace vide du même, vue par le côté droit.
 Fig. 6. *Prorocentrum micans*, vu de face.
 Fig. 7. Le même, vu de profil.
 Fig. 8. Carapace vide du même.
 Fig. 9. *Amphidinium operculatum*.
 Fig. 10. Le même, vu de profil.
 Fig. 11 et 12. Variétés (?) du même.
 Fig. 13. *Dinophysis laevis*, vue du côté droit.
 Fig. 14. *Dinophysis ovata*, vue du côté droit.
 Fig. 15. La même, vue par la face ventrale.
 Fig. 16. *Dinophysis rotundata*, vue par le côté gauche.
 Fig. 17. *Dinophysis acuminata*, vue par le côté droit.
 Fig. 18. *Dinophysis norvegica*, vue du côté droit.
 Fig. 19 et 20. Deux variétés de la *Dinophysis ventricosa*.

PLANCHE XXI.

- Fig. 1. *Petalopus diffluens*, avec expansions filiformes.
 Fig. 2. Partie antérieure du même avec expansions globuleuses.
 Fig. 3. Le même, avec pseudopodes étalés en feuilles.
 Fig. 4. *Podostoma filigerum*, ramassé sur lui-même.
 Fig. 5. Le même, développant ses filaments préhensiles.
 Fig. 6. Le même, retirant à lui l'un de ses filaments préhensiles.
 Fig. 6^a. Extrémité d'un filament préhensile de *Petalopus* au moment où la nourriture est saisie.

- Fig. 7. *Opalina lineata*.
 Fig. 8. La même, avec son nucléus.
 Fig. 9. *Opalina recurva*.
 Fig. 10. *Solenophrya crassa*, dans sa coque.
 Fig. 11. *Podophrya elongata*.
 Fig. 12. *Acineta compressa*, vue de face.
 Fig. 13. La même, vue de profil.

PLANCHE XXII.

- Fig. 1. *Plagiophrys cylindrica*.
 Fig. 2. *Plagiophrys sphaerica*, vue par-dessus.
 Fig. 3. *Pleurophrys sphaerica*, vue par-dessus.
 Fig. 4. *Actinophrys tenuipes*.
 Fig. 5. *Pseudochlamys Patella*, vue par dessous.
 Fig. 6. Variété de la même, vue par dessous.
 Fig. 7. *Arcella patens*, vue de profil.

- Fig. 8. *Plagiacantha arachnoïdes*.
 Fig. 9. La même, dépourvue du corps globuleux.

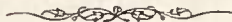
PLANCHE XXIII.

- Fig. 1. *Acanthometra echinoïdes*.
 Fig. 2. Partie du noyau du squelette de la même.
 Fig. 3, 4 et 5. Extrémités de spicules.

PLANCHE XXIV.

- Fig. . *Lieberkuehnia Wageneri*, avec ses pseudopodes développés.

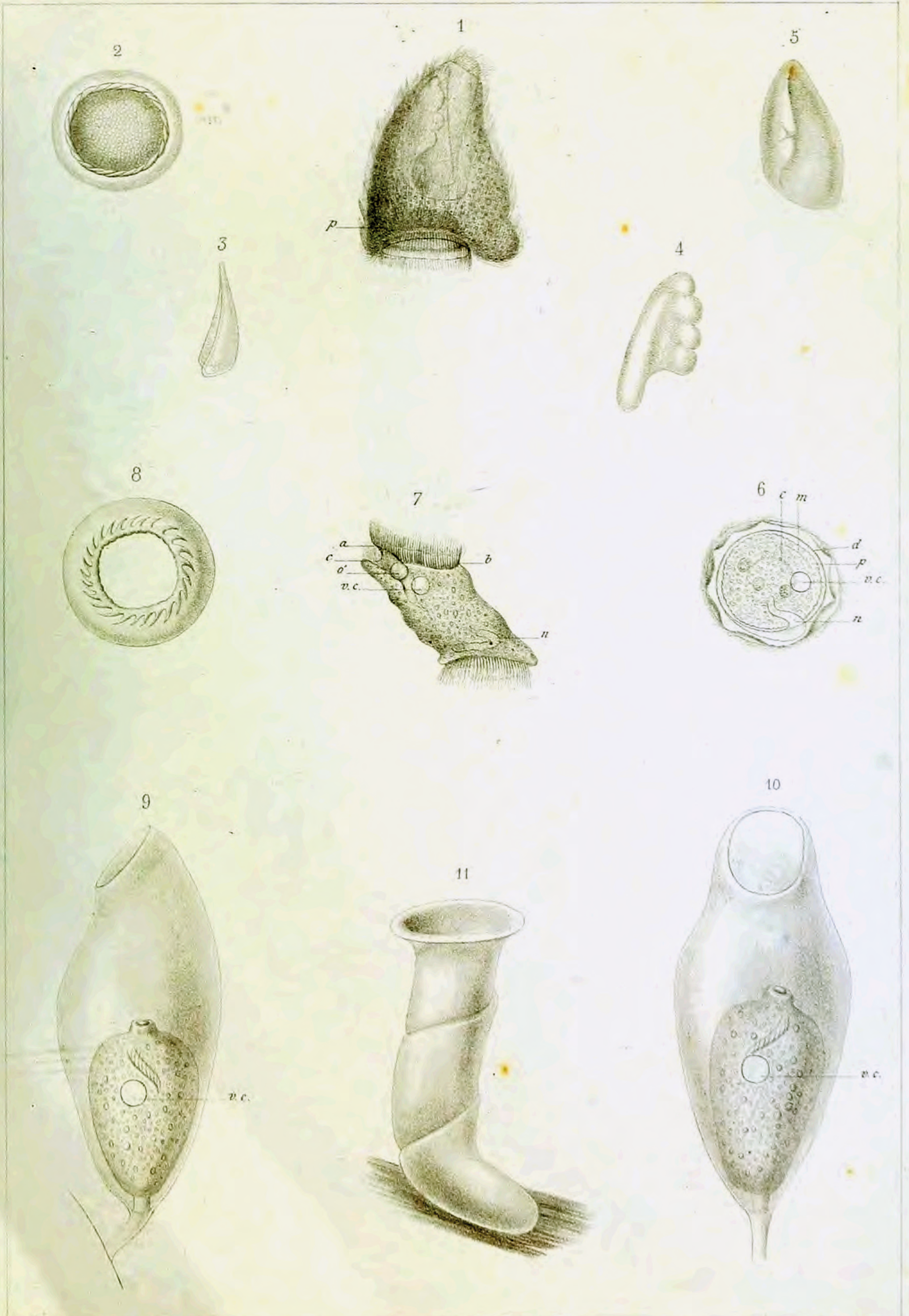
N. B. Les pseudopodes devraient, proportion gardée, être dessinés deux fois aussi longs que la grandeur de la planche a permis de les représenter.



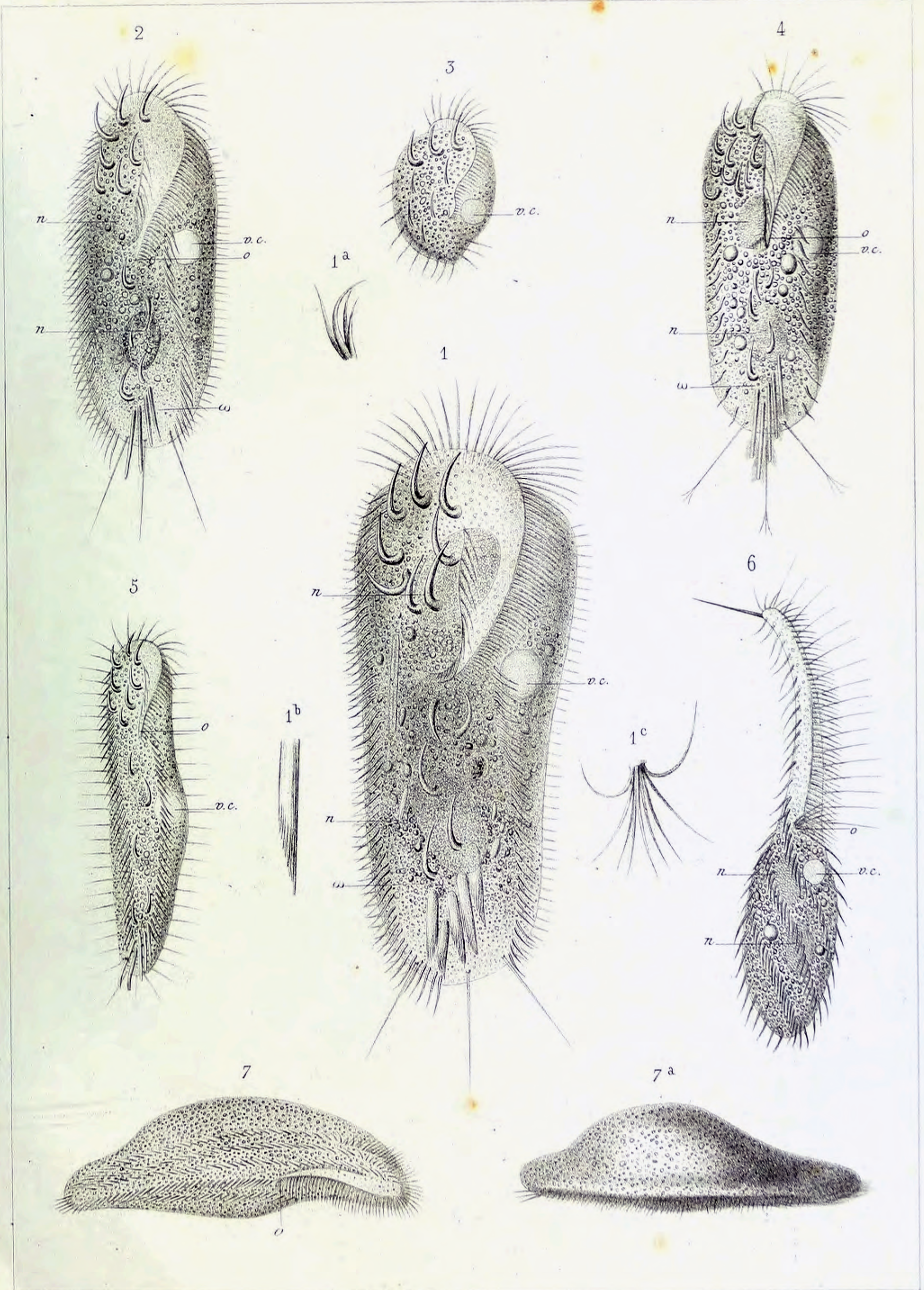


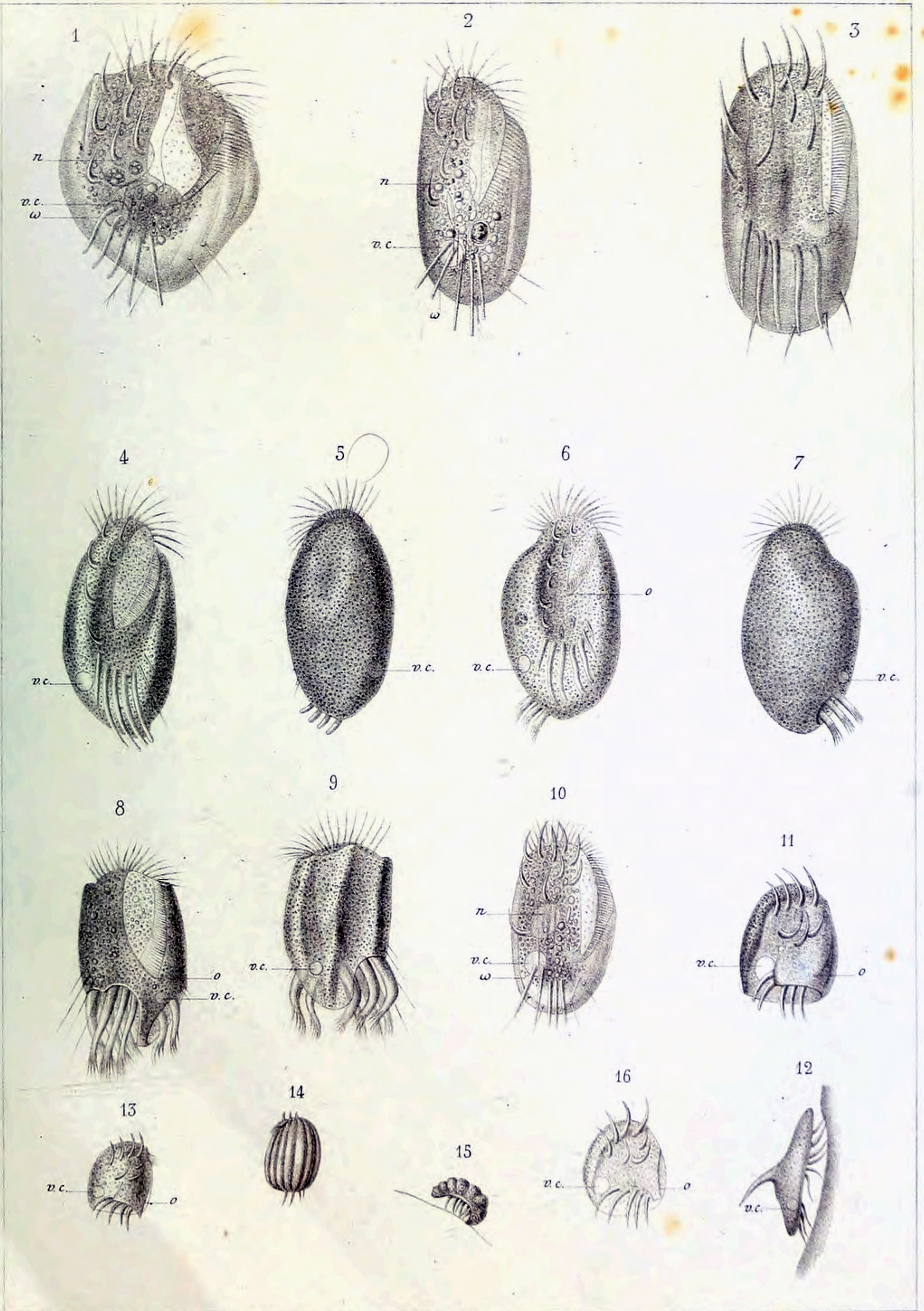


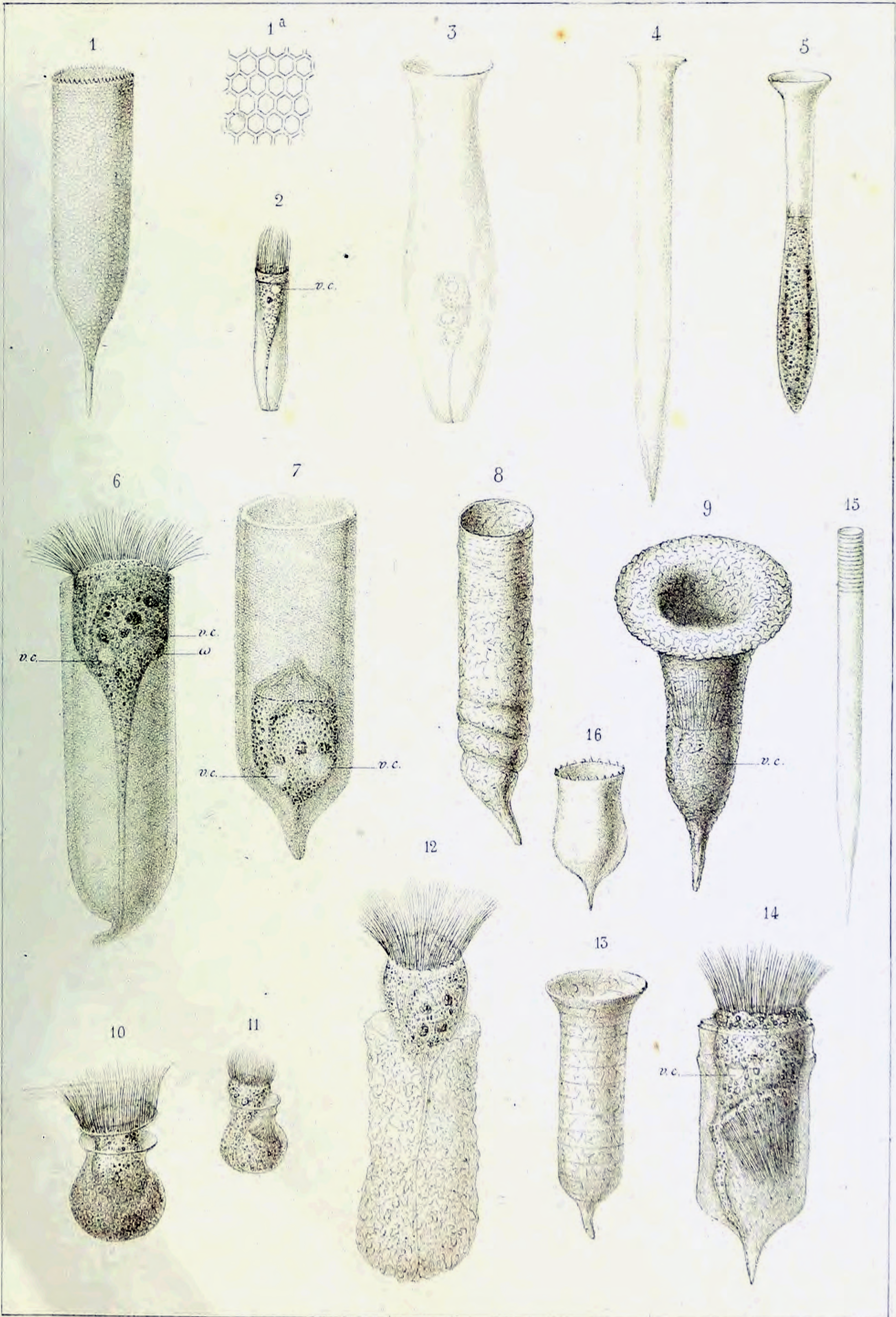


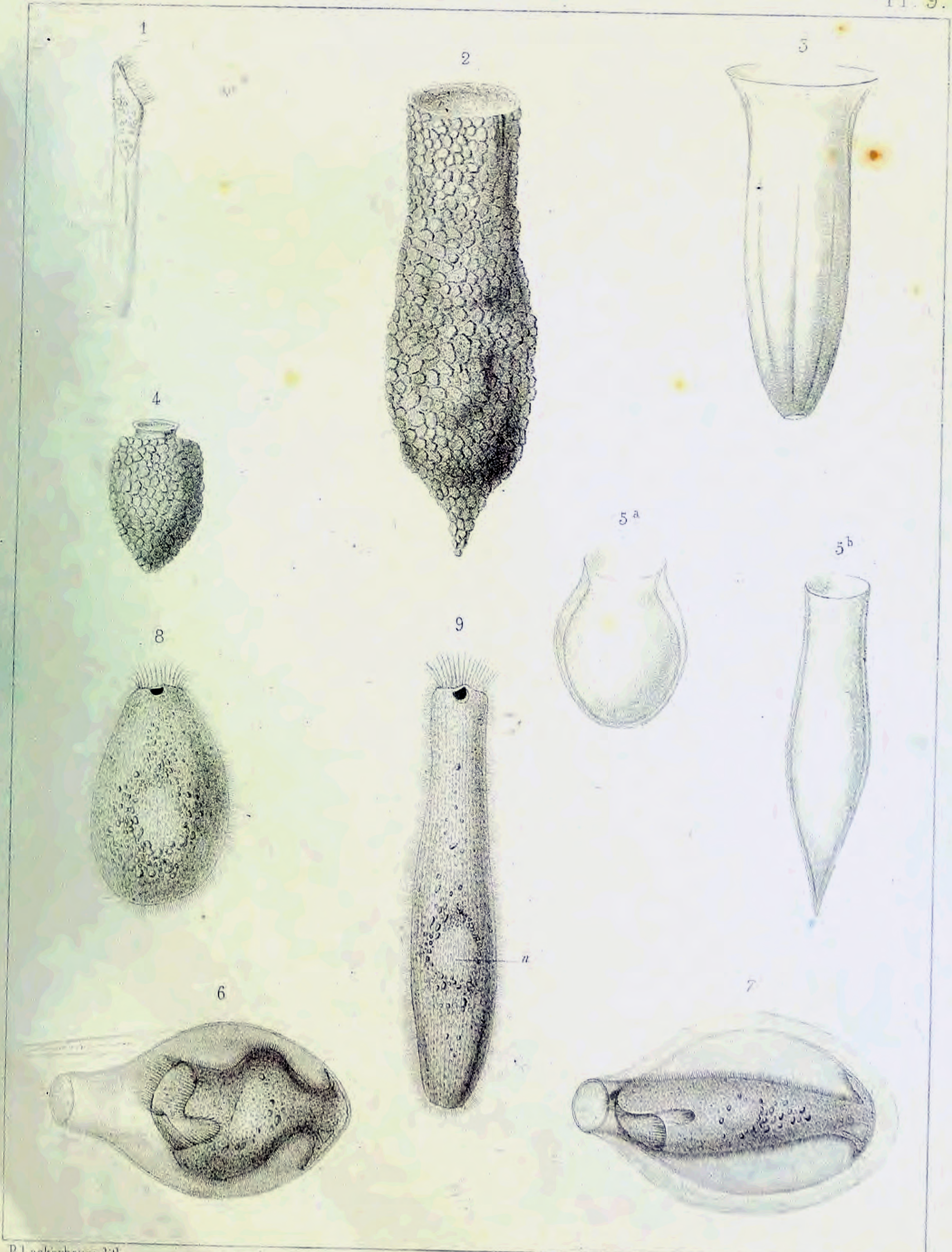












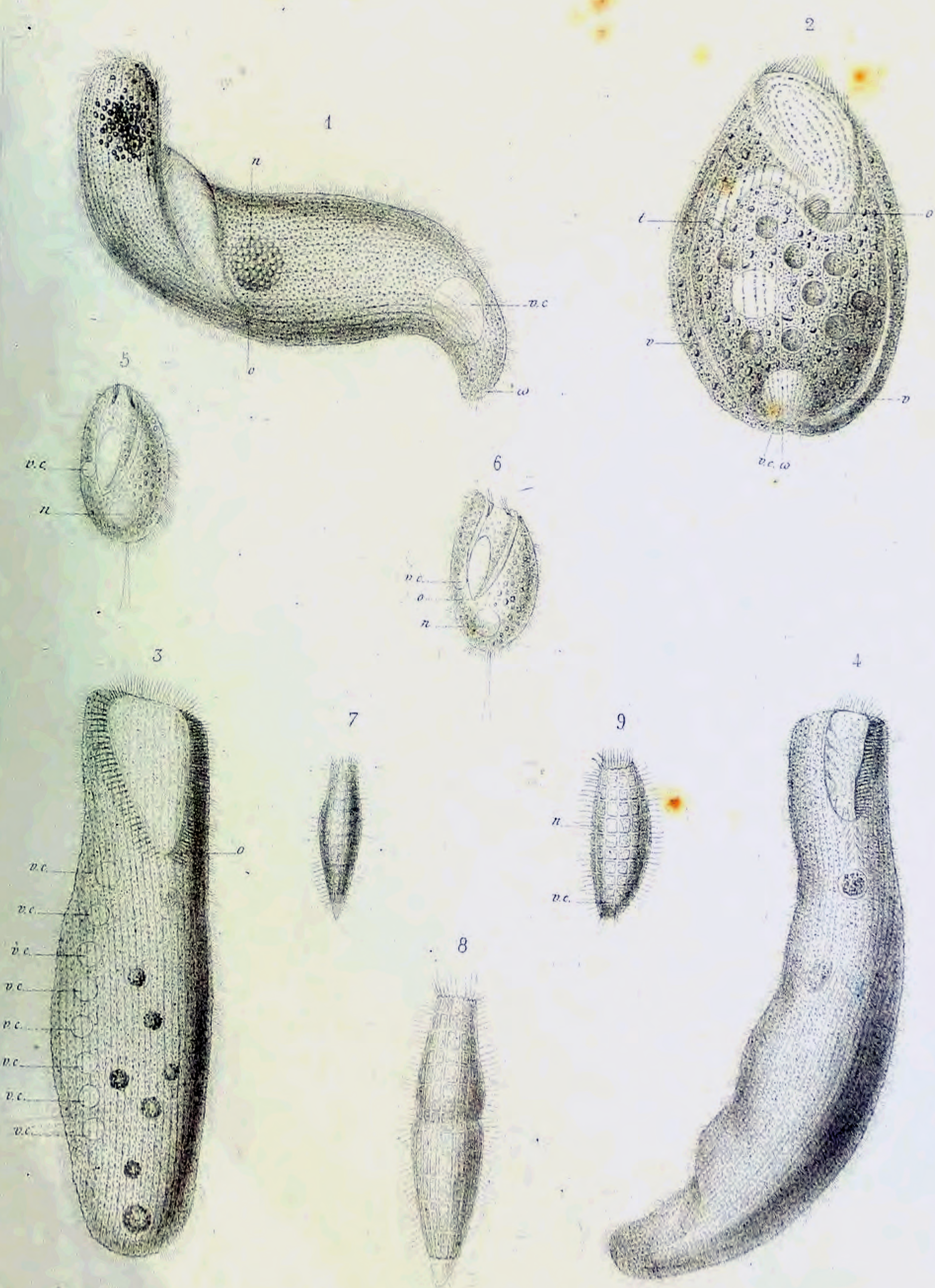


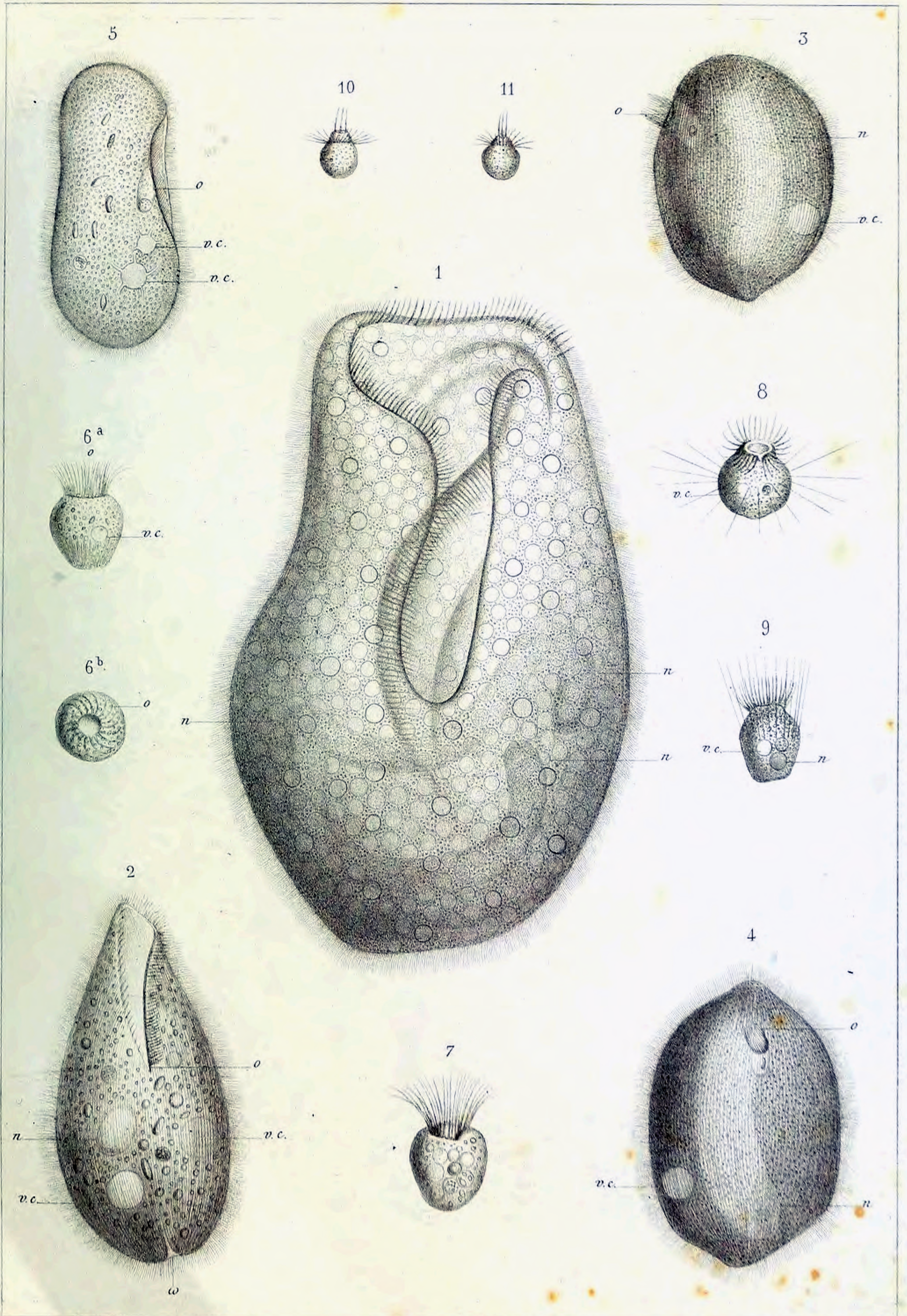
P. Lackerbauer lith.

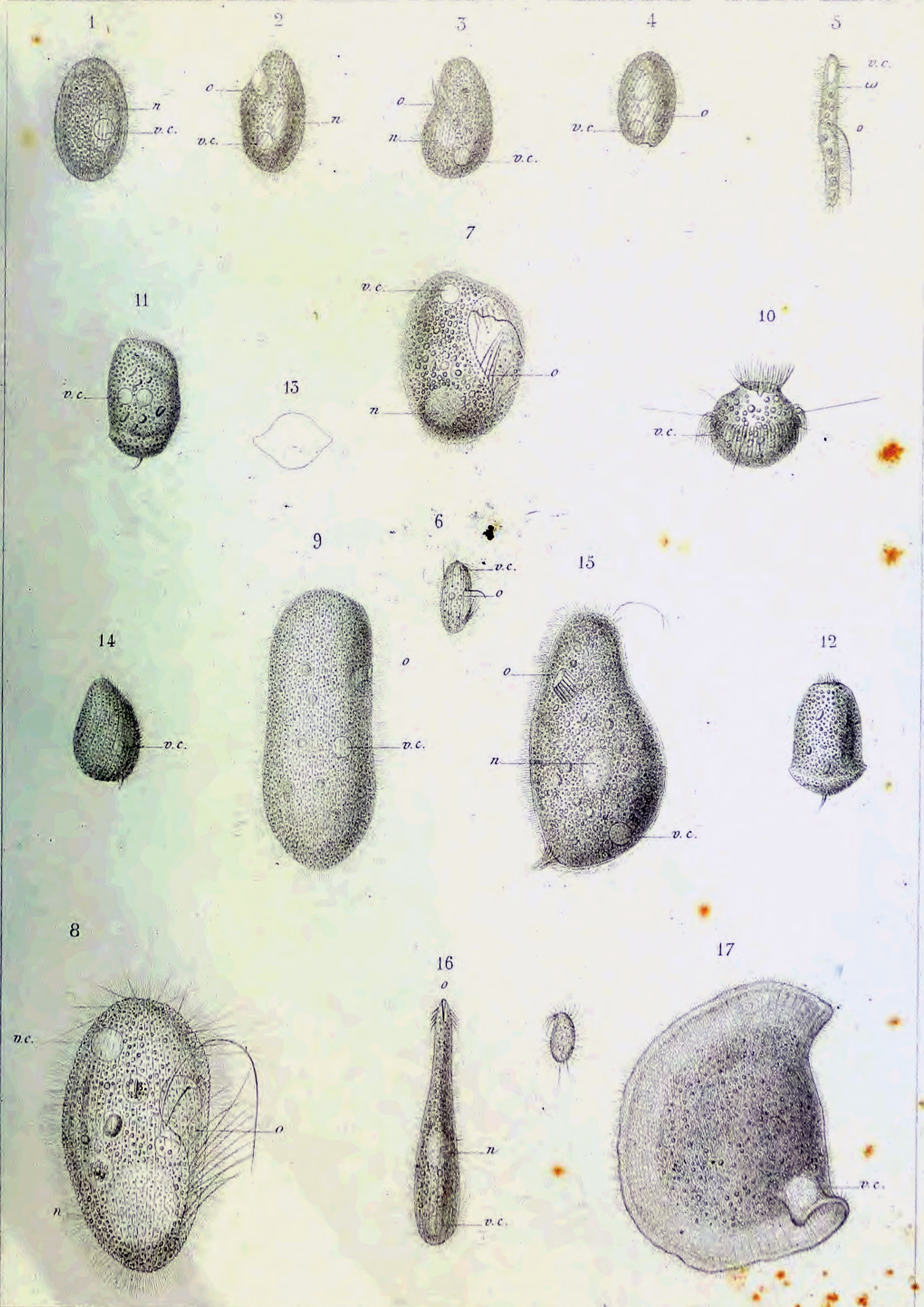
Lith. Boquet freres.

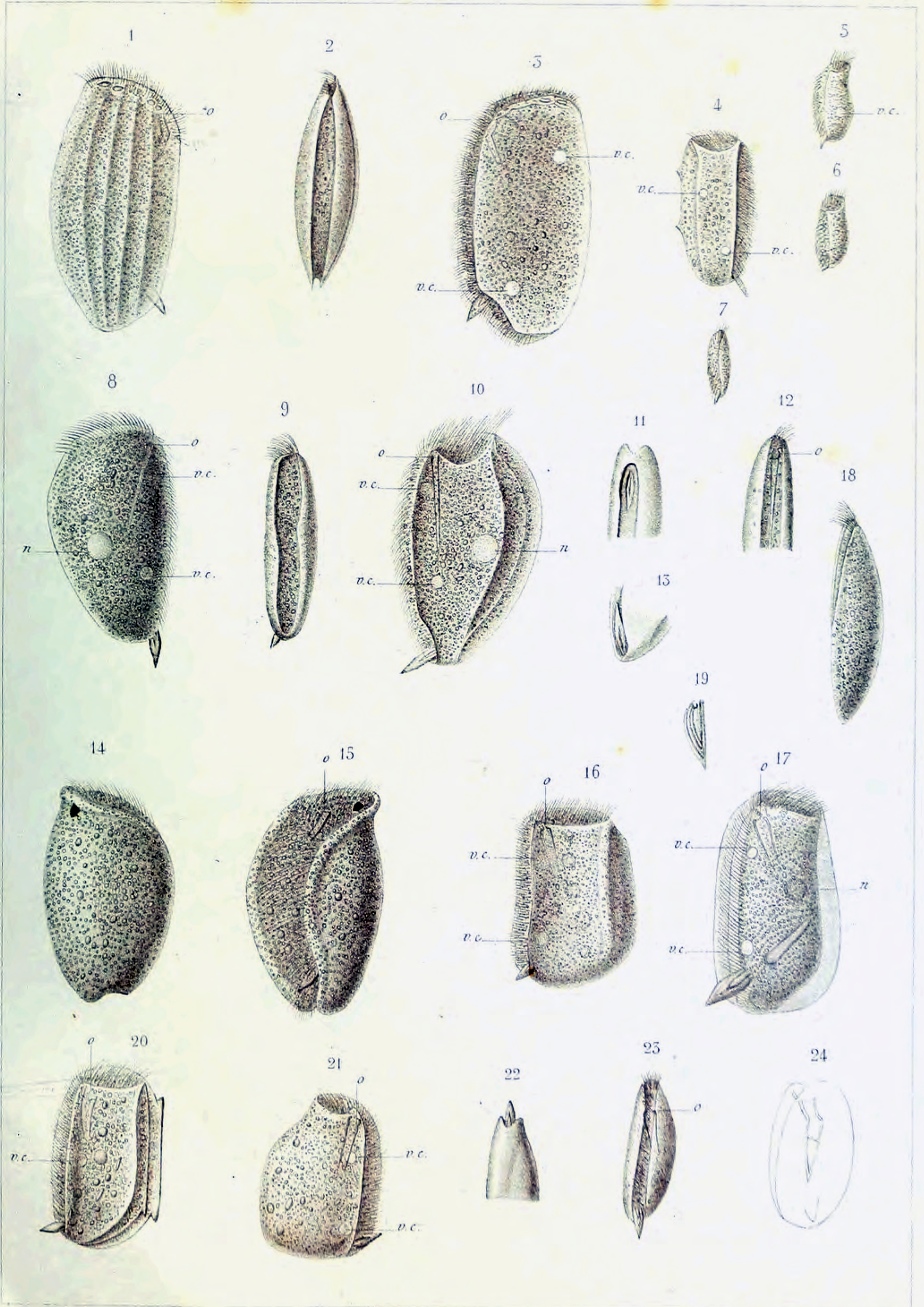
Ed. Claparède del.

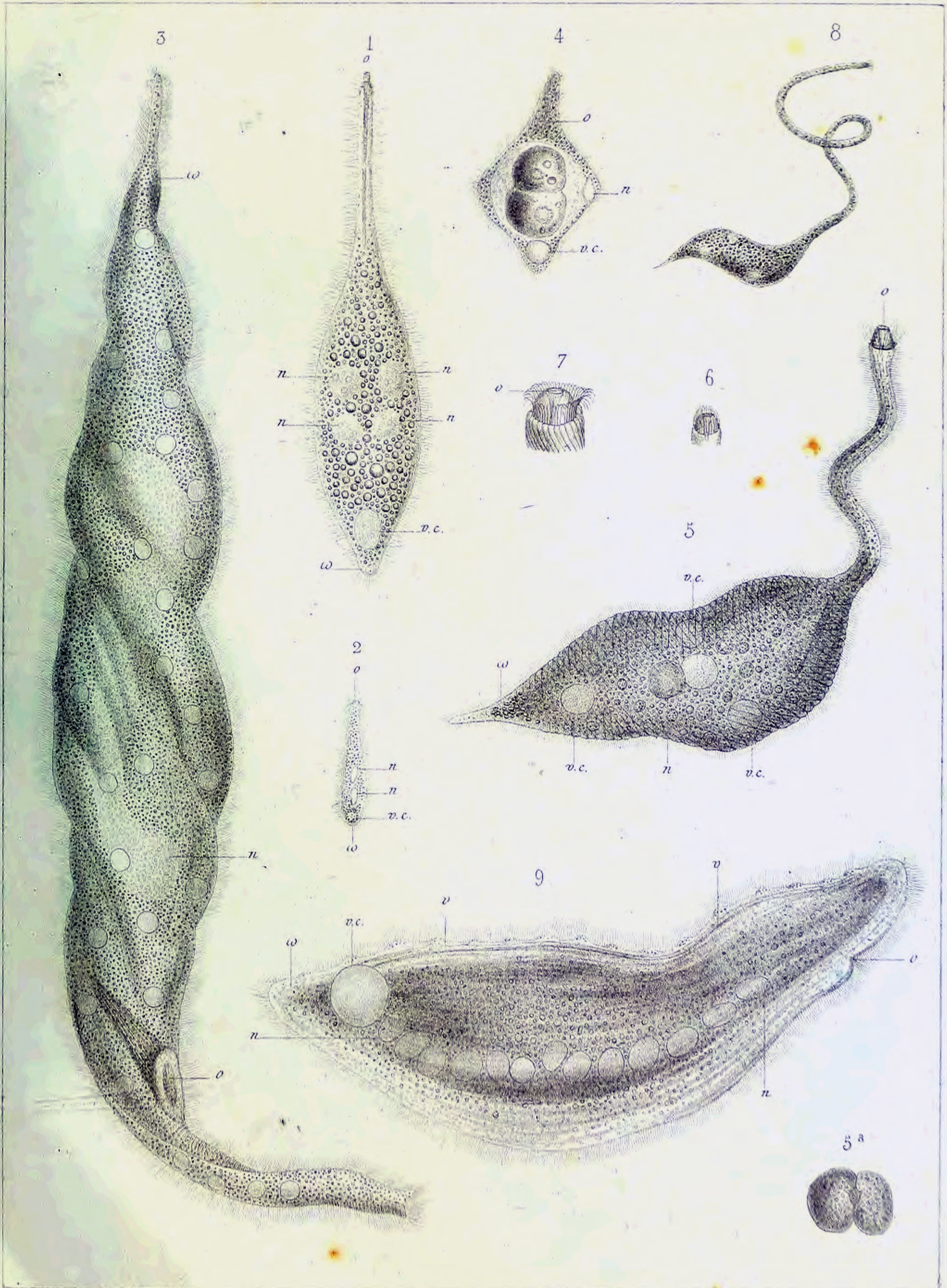








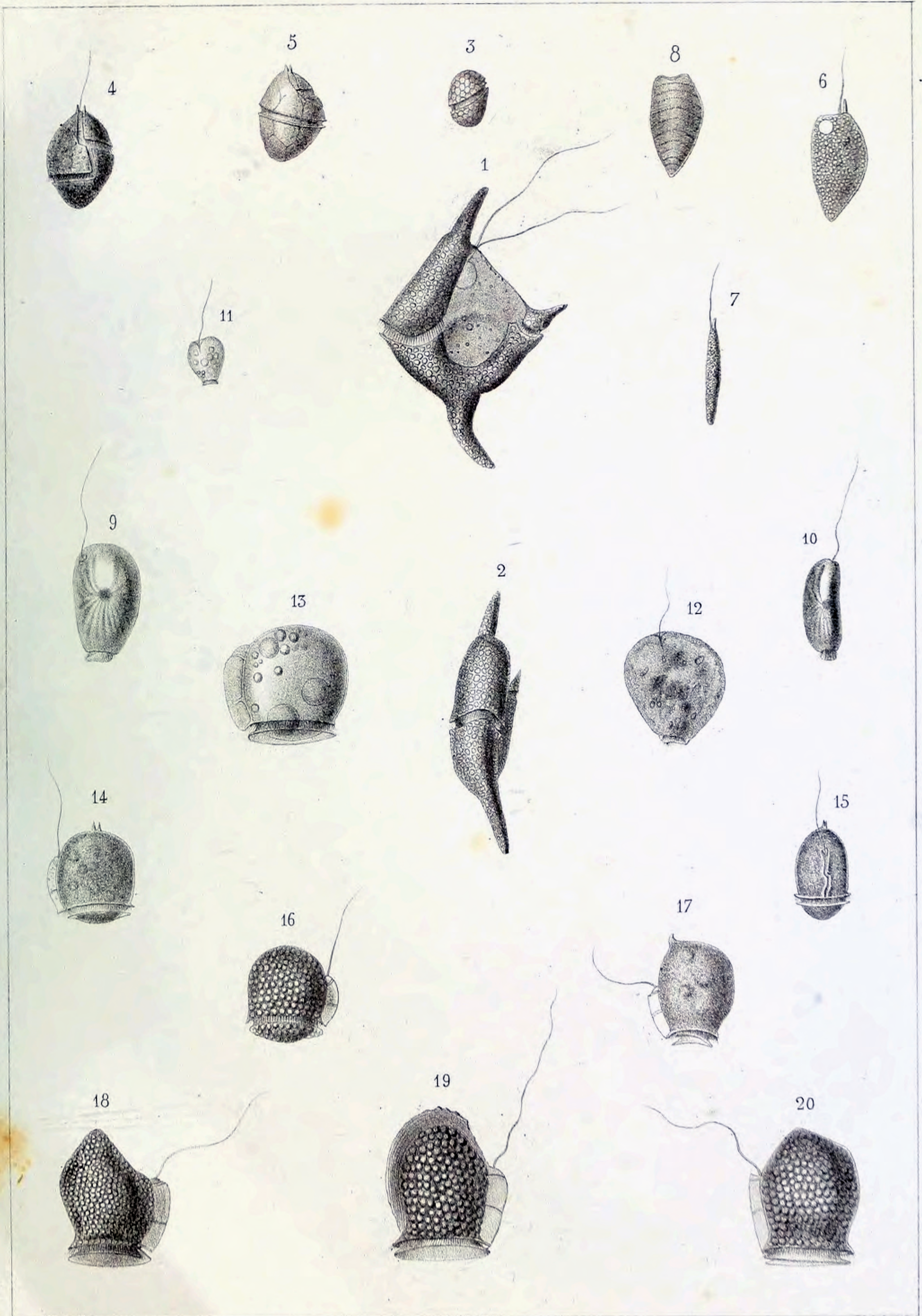


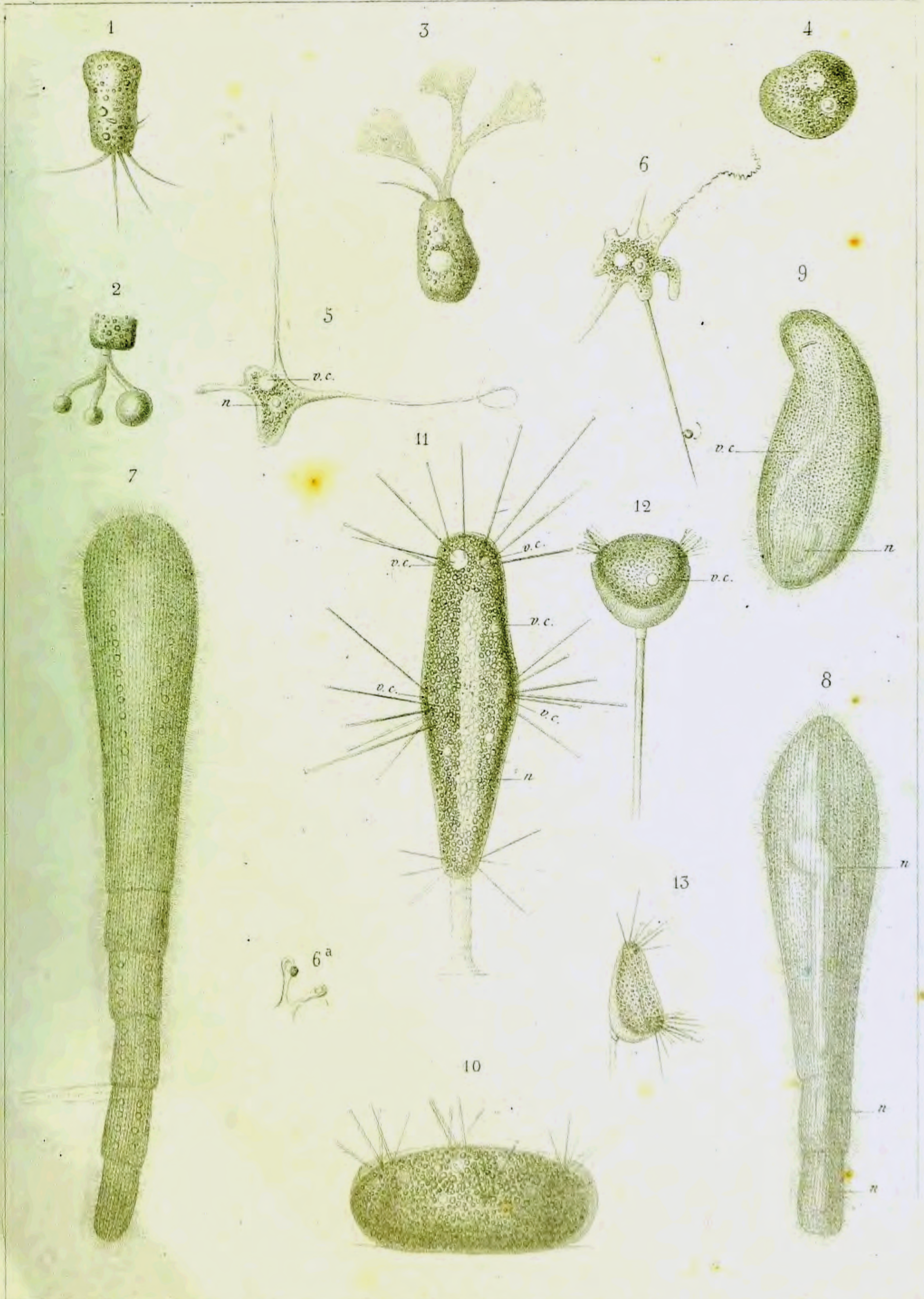












P.Lackerbauer lith.

Lith. Becquet fecores.

Ed. Claparède del.



